



UNIVERSITÀ
DEGLI STUDI DI TRIESTE

Dipartimento di SCIENZE DELLA VITA

Convenzione tra

ARPA FVG

e

Dipartimento di Scienze della Vita, Università degli Studi di Trieste

**Confronto della capacità di accumulo di due
specie di licheni epifiti per la verifica di
eventuali scostamenti dai valori di
naturalità riconducibili all'attività della
centrale termoelettrica a2a di Monfalcone**

APPENDICE 4

Figure relative a *Xanthoria parietina*

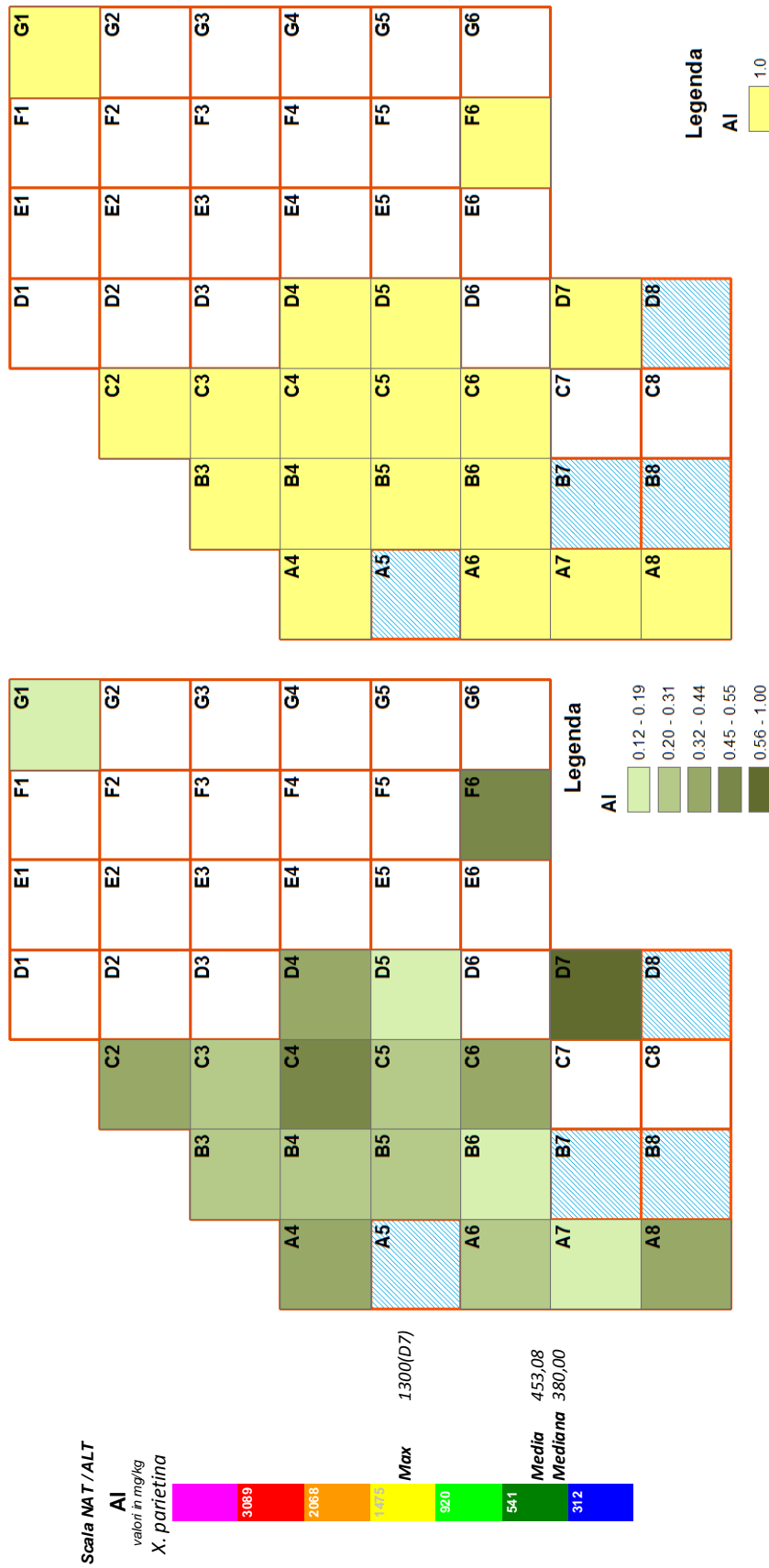


Figura 1c - Valori medi dell'Alluminio (AI) standardizzati rispetto al massimo riscontrato nell'area di studio nel lichene *Xanthoria parietina* (Figura a) e gli stessi corretti in base al fattore di arricchimento per l'Alluminio per le tre principali tipologie di suolo (vedi Tab. 12) (Figura b). Nell'insero a sinistra si riporta la scala di naturalità/alterazione di questa specie (v. Tretiach & Baruffo 2001) con i valori massimi, medi e di mediana della sottopopolazione di dati. Ulteriori spiegazioni nel testo.

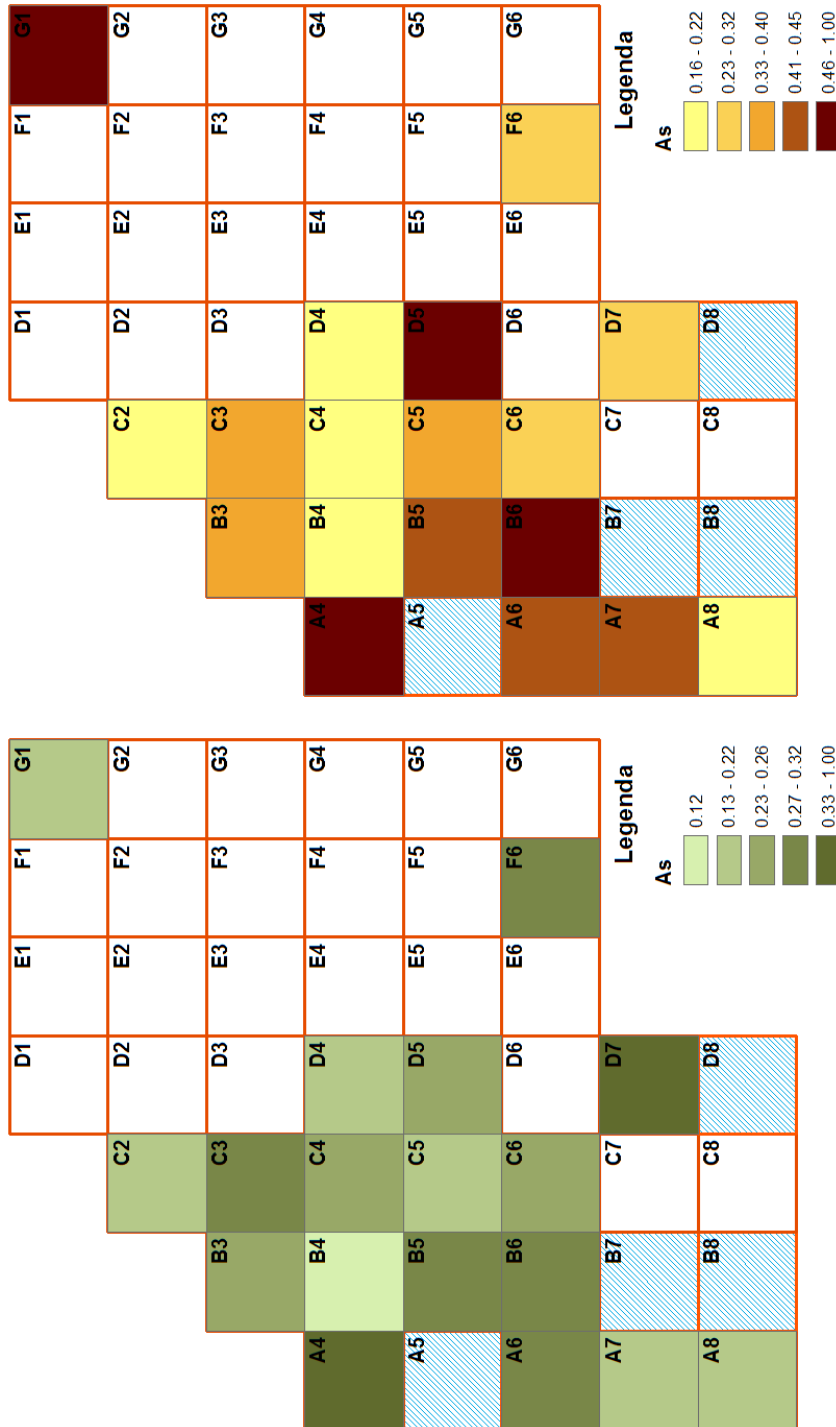
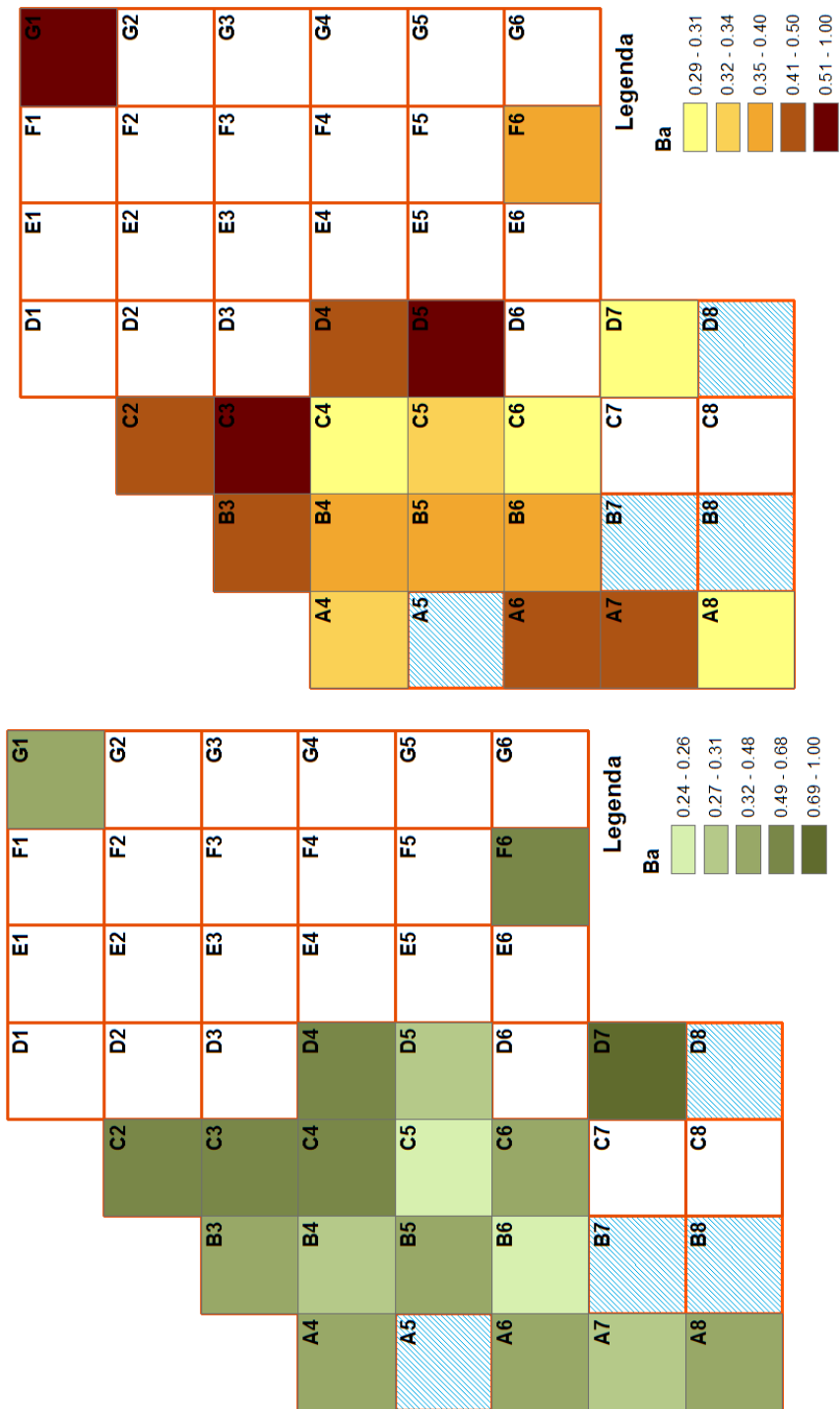


Figura 2c - Valori medi dell'Arsenico (As) standardizzati rispetto al massimo relativo riscontrato nell'area di studio nel lichene *Xanthoria parietina* (Figura a) e gli stessi corretti in base al fattore di arricchimento per l'Alluminio per le tre principali tipologie di suolo (vedi Tab. 12) (Figura b). Per questo elemento non è disponibile la scala di naturalità/alterazione. Ulteriori spiegazioni nel testo.



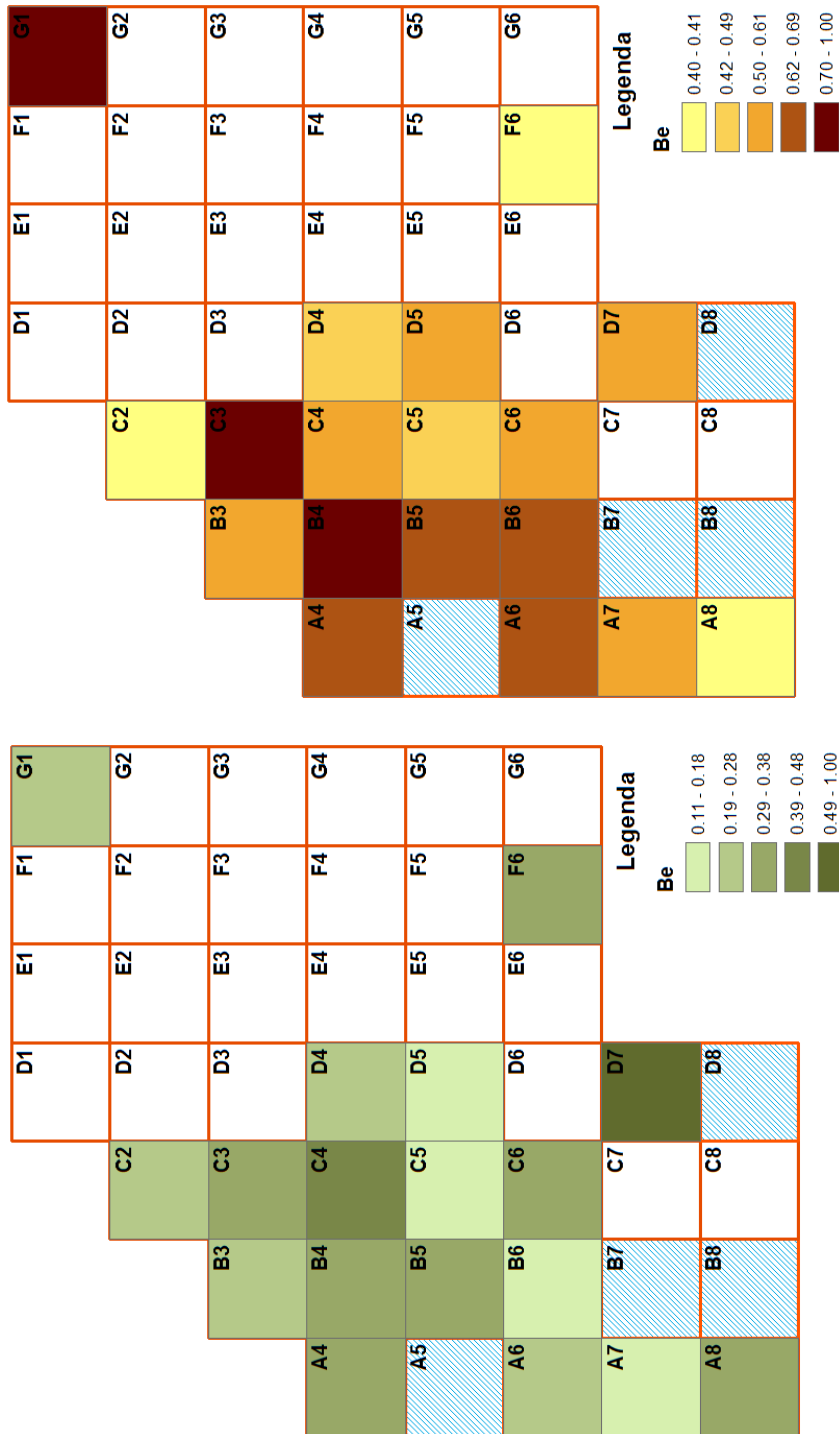


Figura 4c - Valori medi del Berillio (Be) standardizzati rispetto al massimo relativo riscontrato nell'area di studio nel lichene *Xanthoria parietina* (Figura a) e gli stessi corretti in base al fattore di arricchimento per l'Alluminio per le tre principali tipologie di suolo (vedi Tab. 12) (Figura b). Per questo elemento non è disponibile la scala di naturalità/alterazione. Ulteriori spiegazioni nel testo.

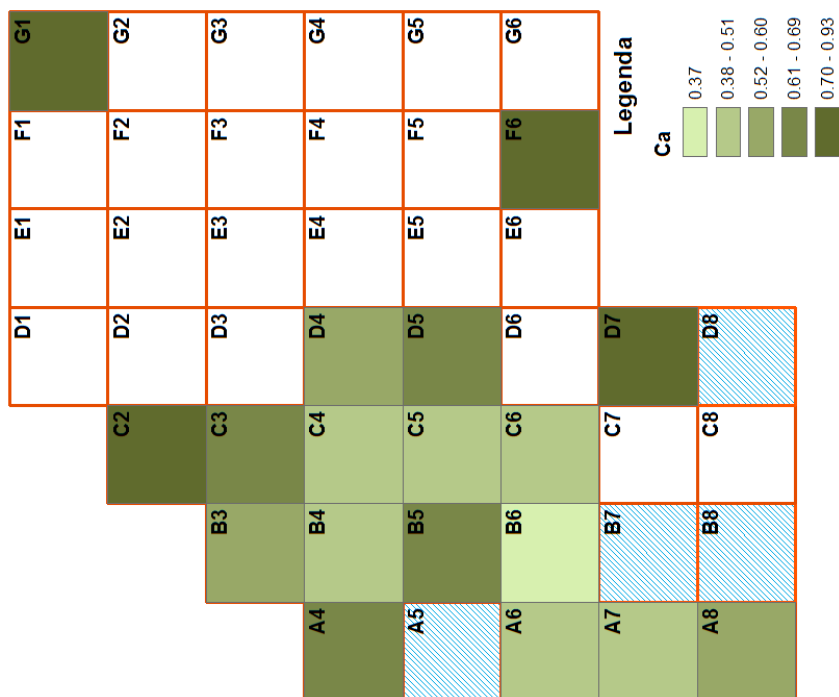


Figura 5c - Valori medi del Calcio (Ca) standardizzati rispetto al massimo relativo riscontrato nell'area di studio nel lichene *Xanthoria parietina* (Figura a). Per questo elemento non è disponibile la scala di naturalità/alterazione, né è stata costruita la mappa con i valori corretti in base al fattore di arricchimento per l'Alluminio per le tre principali tipologie di suolo. Ulteriori spiegazioni nel testo.

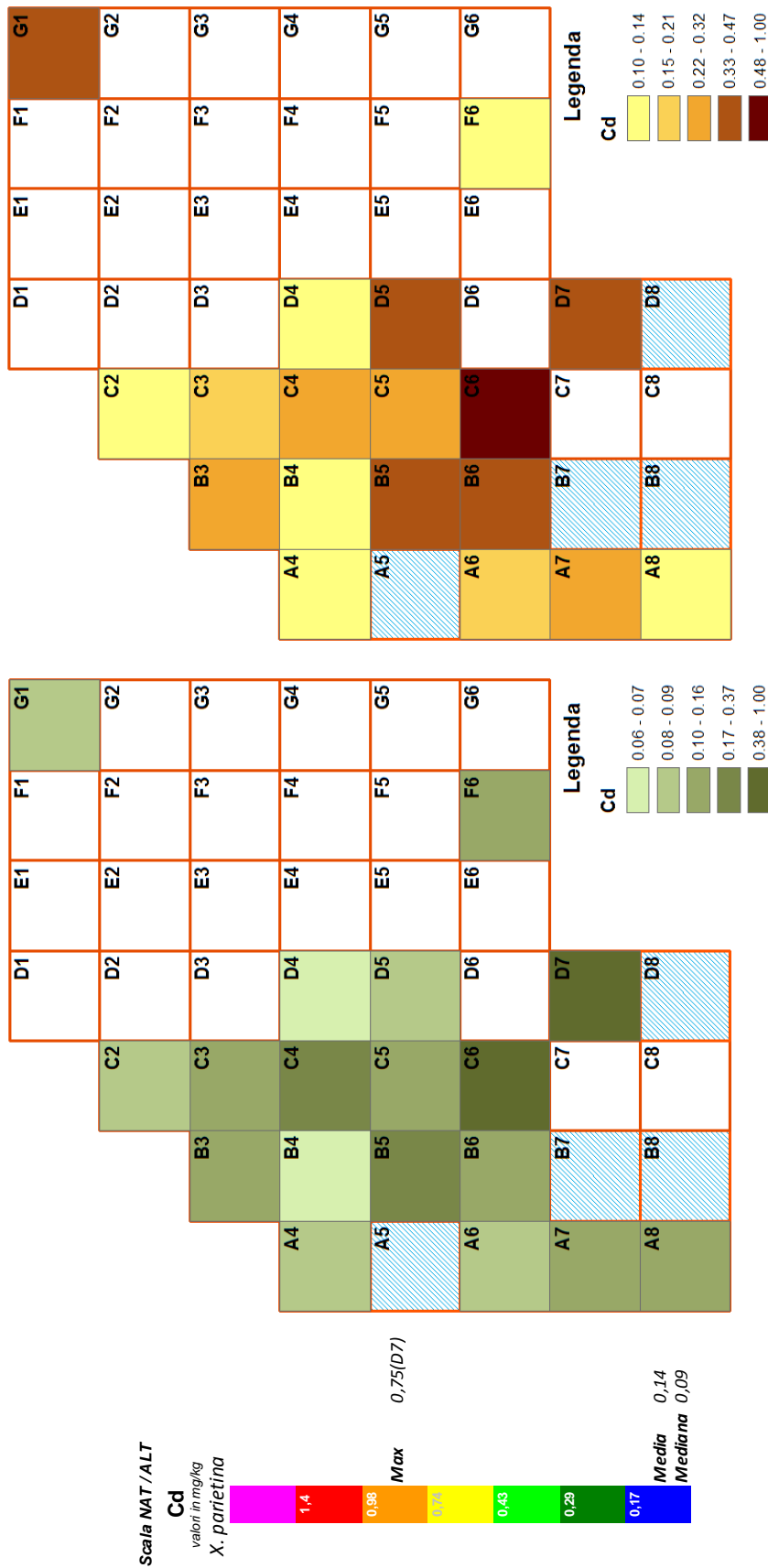


Figura 6c - Valori medi del Cadmio (Cd) standardizzati rispetto al massimo relativo riscontrato nell'area di studio nel lichene *Xanthoria parietina* (Figura a) e gli stessi corretti in base al fattore di arricchimento per l'Alluminio per le tre principali tipologie di suolo (vedi Tab. 12) (Figura b). Nell'insero a sinistra si riporta la scala di naturalità/alterazione di questa specie (v. Tretliach & Baruffo 2001) con i valori massimi, medi e di mediana della sottopopolazione di dati. Ulteriori spiegazioni nel testo.

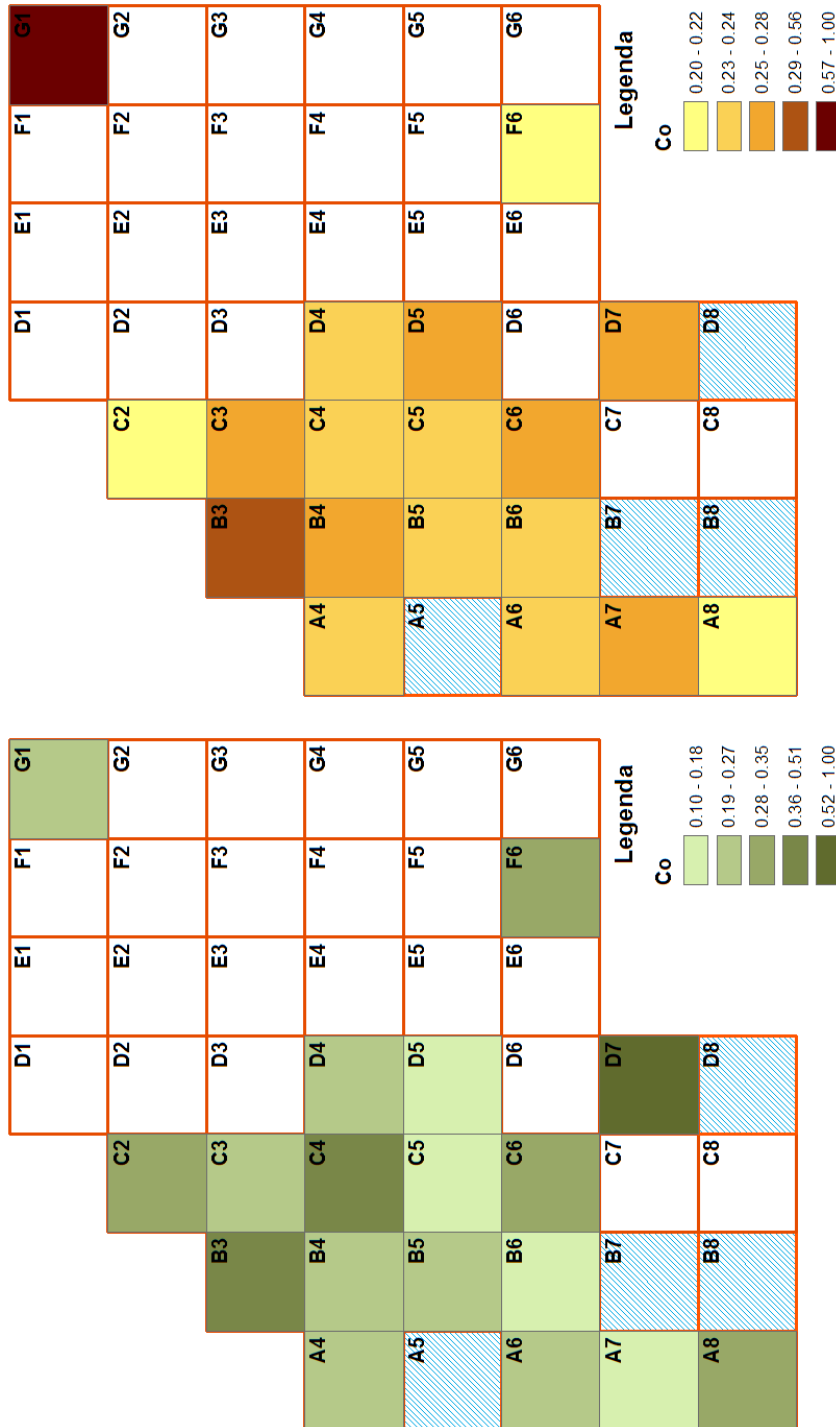


Figura 7c - Valori medi del Cobalto (Co) standardizzati rispetto al massimo relativo riscontrato nell'area di studio nel lichene *Xanthoria parietina* (Figura a) e gli stessi corretti in base al fattore di arricchimento per l'Alluminio per le tre principali tipologie di suolo (vedi Tab. 12) (Figura b). Per questo elemento non è disponibile la scala di naturalità/alterazione. Ulteriori spiegazioni nel testo.

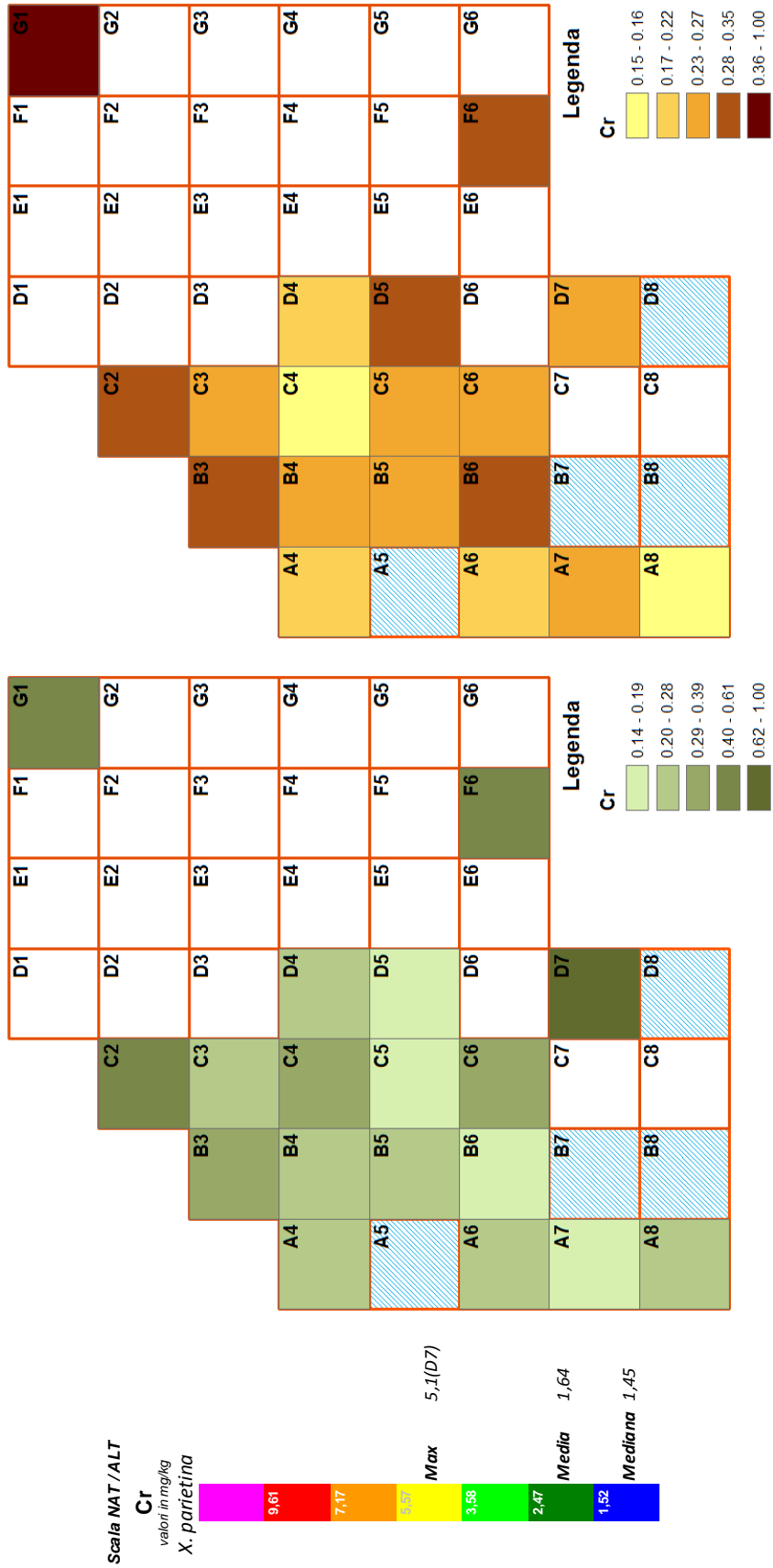


Figura 8c - Valori medi del Cromo (Cr) standardizzati rispetto al massimo relativo riscontrato nell'area di studio nel lichene *Xanthoria parietina* (Figura a) e gli stessi corretti in base al fattore di arricchimento per l'Alluminio per le tre principali tipologie di suolo (vedi Tab. 12) (Figura b). Nell'insero a sinistra si riporta la scala di naturalità/alterazione di questa specie (v. Tretiach & Baruffo 2001) con i valori massimi, medi e di mediana della sottopopolazione di dati. Ulteriori spiegazioni nel testo.

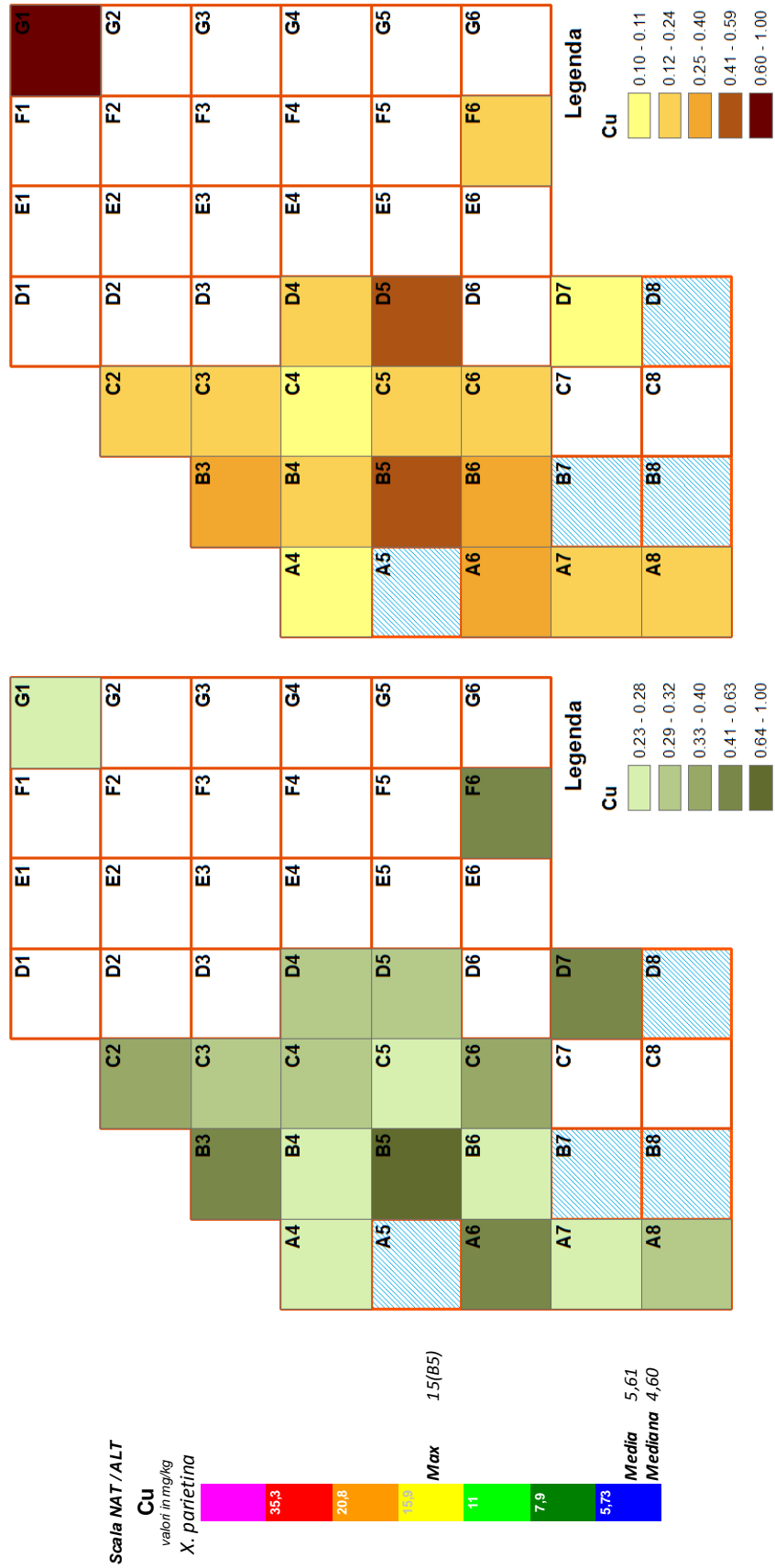


Figura 9c - Valori medi del Rame (Cu) standardizzati rispetto al massimo relativo riscontrato nell'area di studio nel lichene *Xanthoria parietina* (Figura a) e gli stessi corretti in base al fattore di arricchimento per l'Alluminio per le tre principali tipologie di suolo (vedi Tab. 12) (Figura b). Nell'insero a sinistra si riporta la scala di naturalità/alterazione di questa specie (v. Tretiach & Baruffo 2001) con i valori massimi, medi e di mediana della sottopopolazione di dati. Ulteriori spiegazioni nel testo.

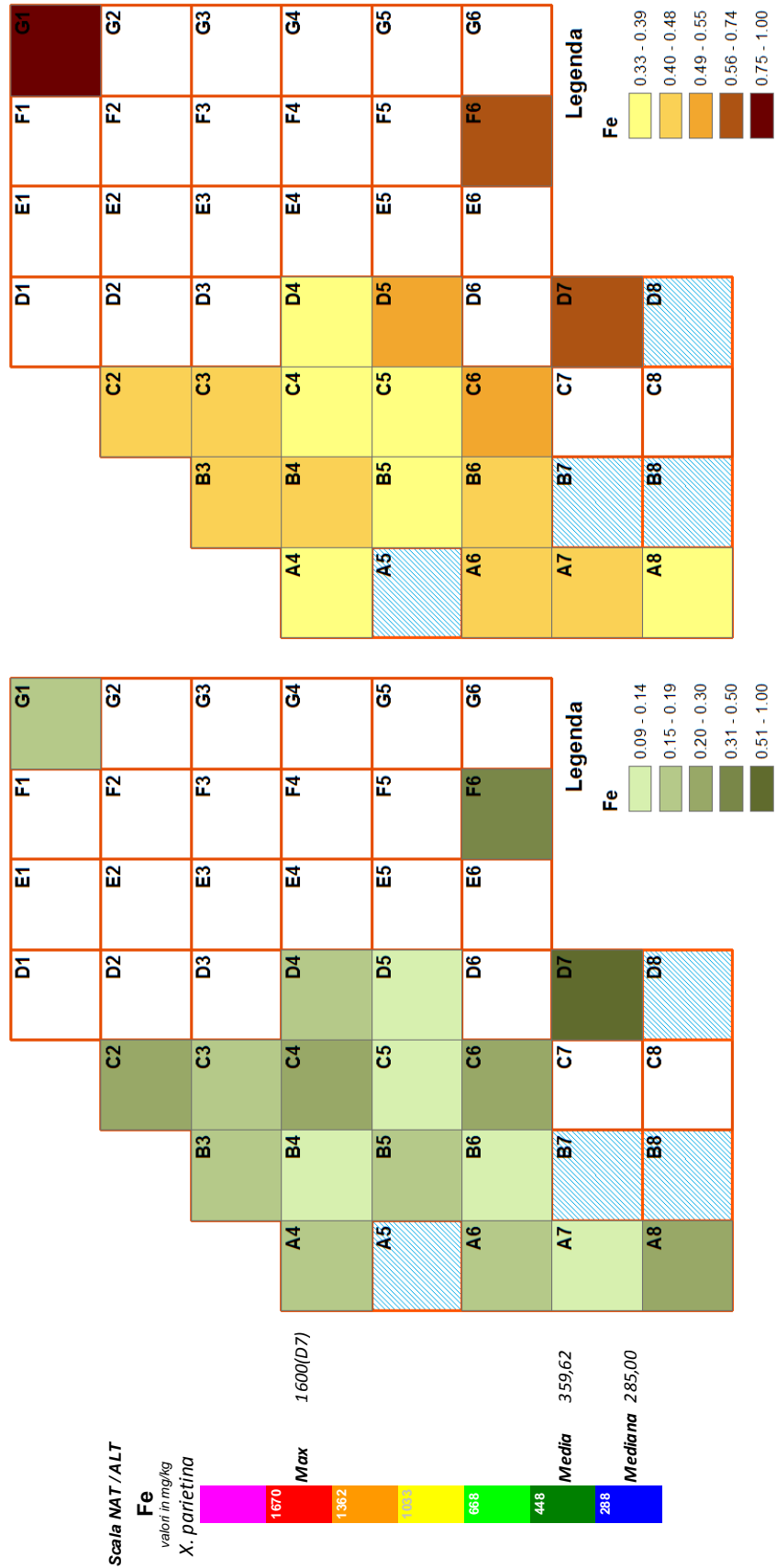


Figura 10c - Valori medi del Ferro (Fe) standardizzati rispetto al massimo relativo riscontrato nell'area di studio nel lichene *Xanthoria parietina* (Figura a) e gli stessi corretti in base al fattore di arricchimento per l'Alluminio per le tre principali tipologie di suolo (vedi Tab. 1.2) (Figura b). Nell'insero a sinistra si riporta la scala di naturalità/alterazione di questa specie (v. Tretiach & Baruffo 2001) con i valori massimi, medi e di mediana della sottopopolazione di dati. Ulteriori spiegazioni nel testo.

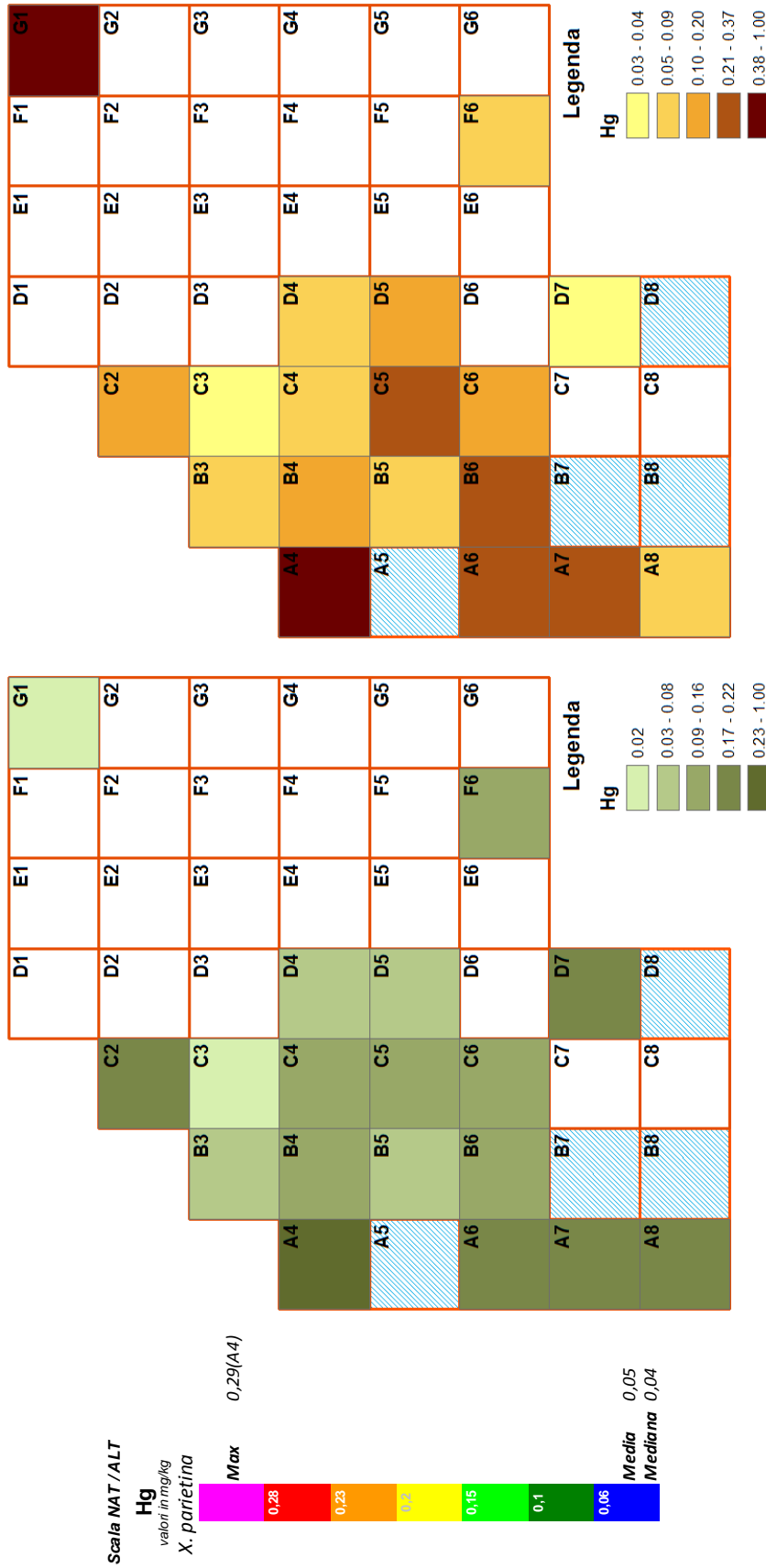


Figura 11c - Valori medi del Mercurio (Hg) standardizzati rispetto al massimo relativo riscontrato nell'area di studio nel lichene *Xanthoria parietina* (Figura a) e gli stessi corretti in base al fattore di arricchimento per le tre principali tipologie di suolo (vedi Tab. 12) (Figura b). Nell'insero a sinistra si riporta la scala di naturalità/alterazione di questa specie (v. Tretiach & Baruffo 2001) con i valori massimi, medi e di mediana della sottopopolazione di dati. Ulteriori spiegazioni nel testo.

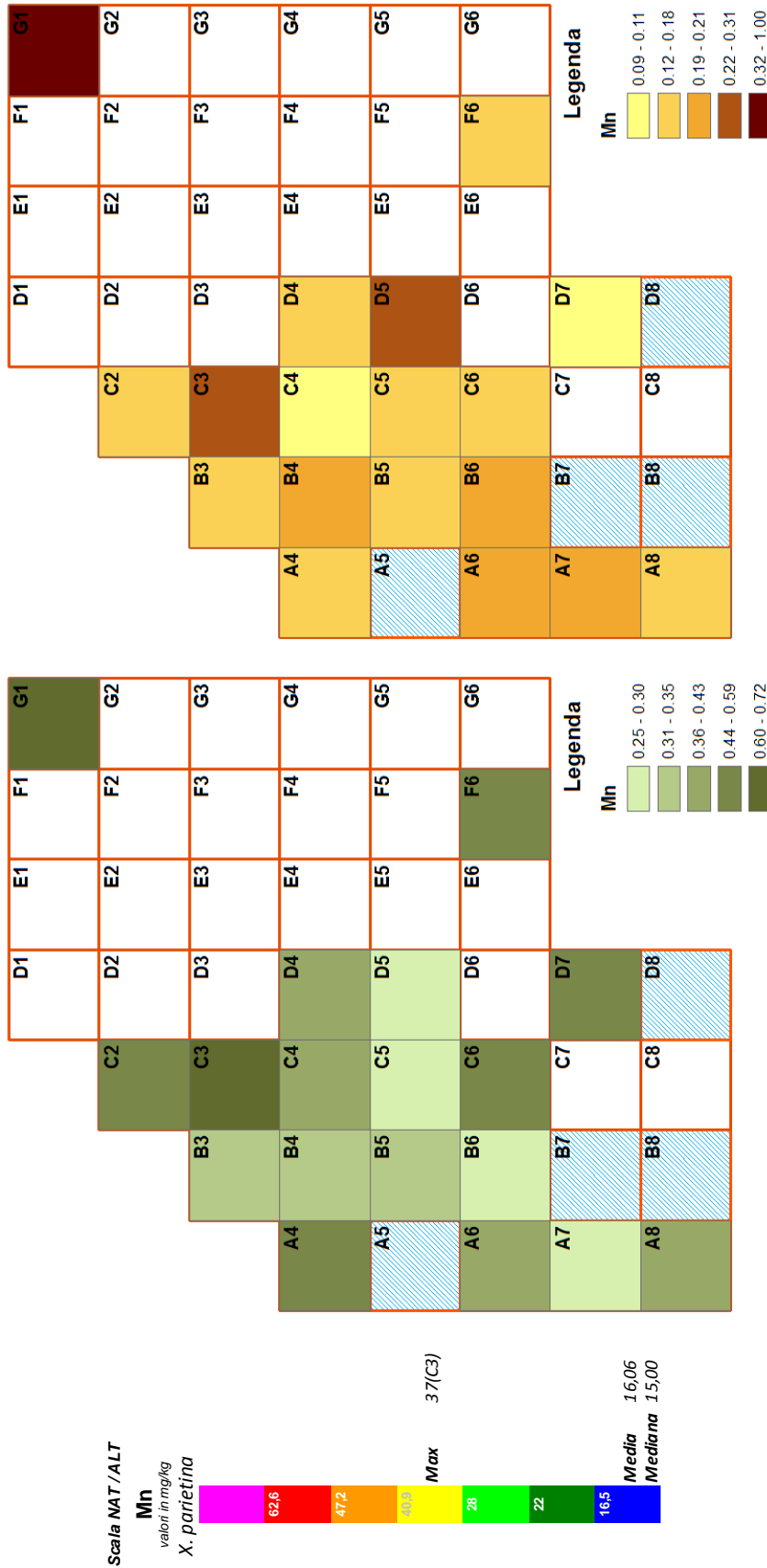


Figura 12c - Valori medi del Manganese (Mn) standardizzati rispetto al massimo relativo riscontrato nell'area di studio nel lichene *Xanthoria parietina* (Figura a) e gli stessi corretti in base al fattore di arricchimento per l'Alluminio per le tre principali tipologie di suolo (vedi Tab. 12) (Figura b). Nell'insero a sinistra si riporta la scala di naturalità/alterazione di questa specie (v. Tretiach & Baruffo 2001) con i valori massimi, medi e di mediana della sottopopolazione di dati. Ulteriori spiegazioni nel testo.

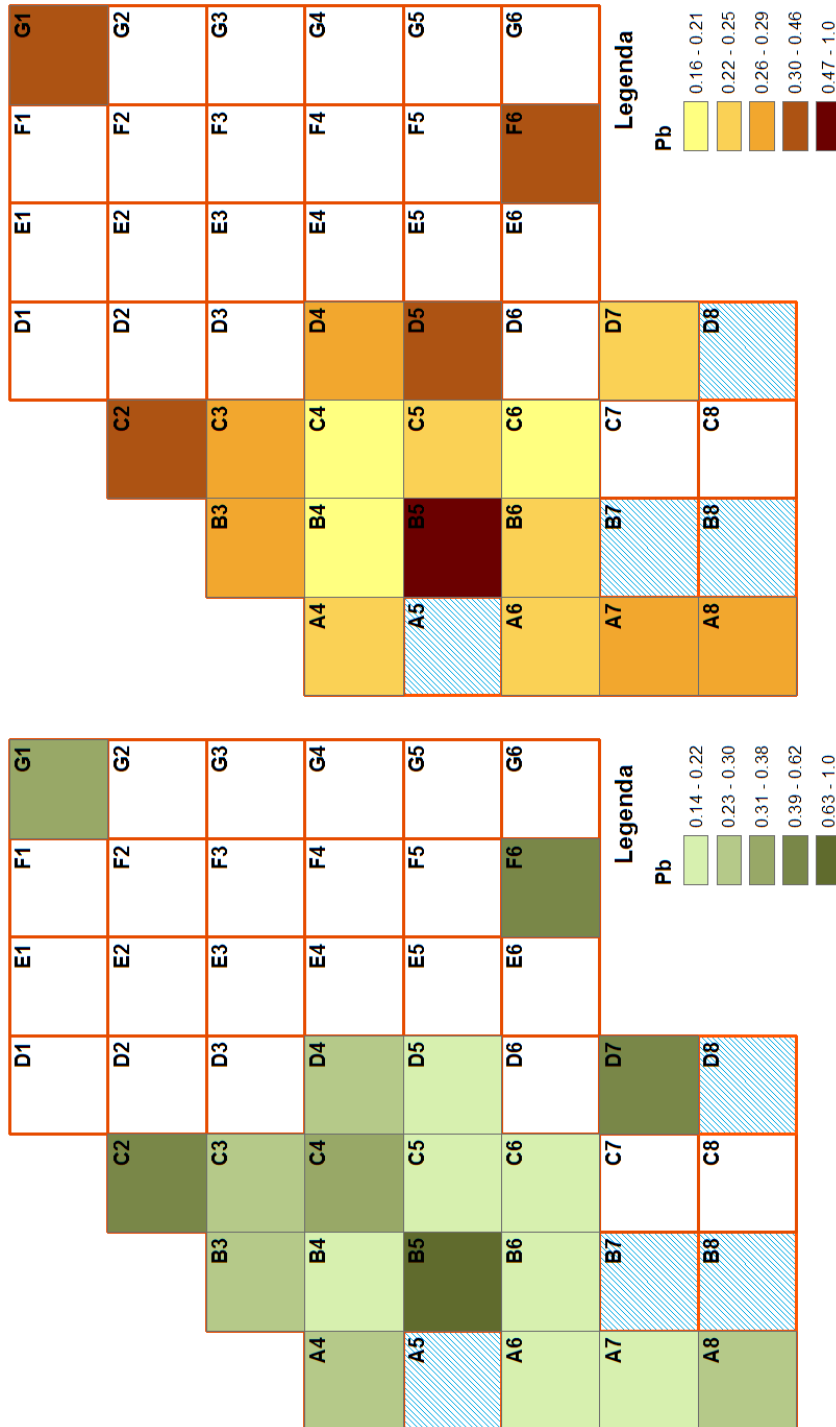


Figura 13c - Valori medi del Piombo (Pb) standardizzati rispetto al massimo relativo riscontrato nell'area di studio nel lichene *Xanthoria parietina* (Figura a) e gli stessi corretti in base al fattore di arricchimento per l'Alluminio per le tre principali tipologie di suolo (vedi Tab. 12) (Figura b). Per questo elemento non è disponibile la scala di naturalità/alterazione. Ulteriori spiegazioni nel testo.

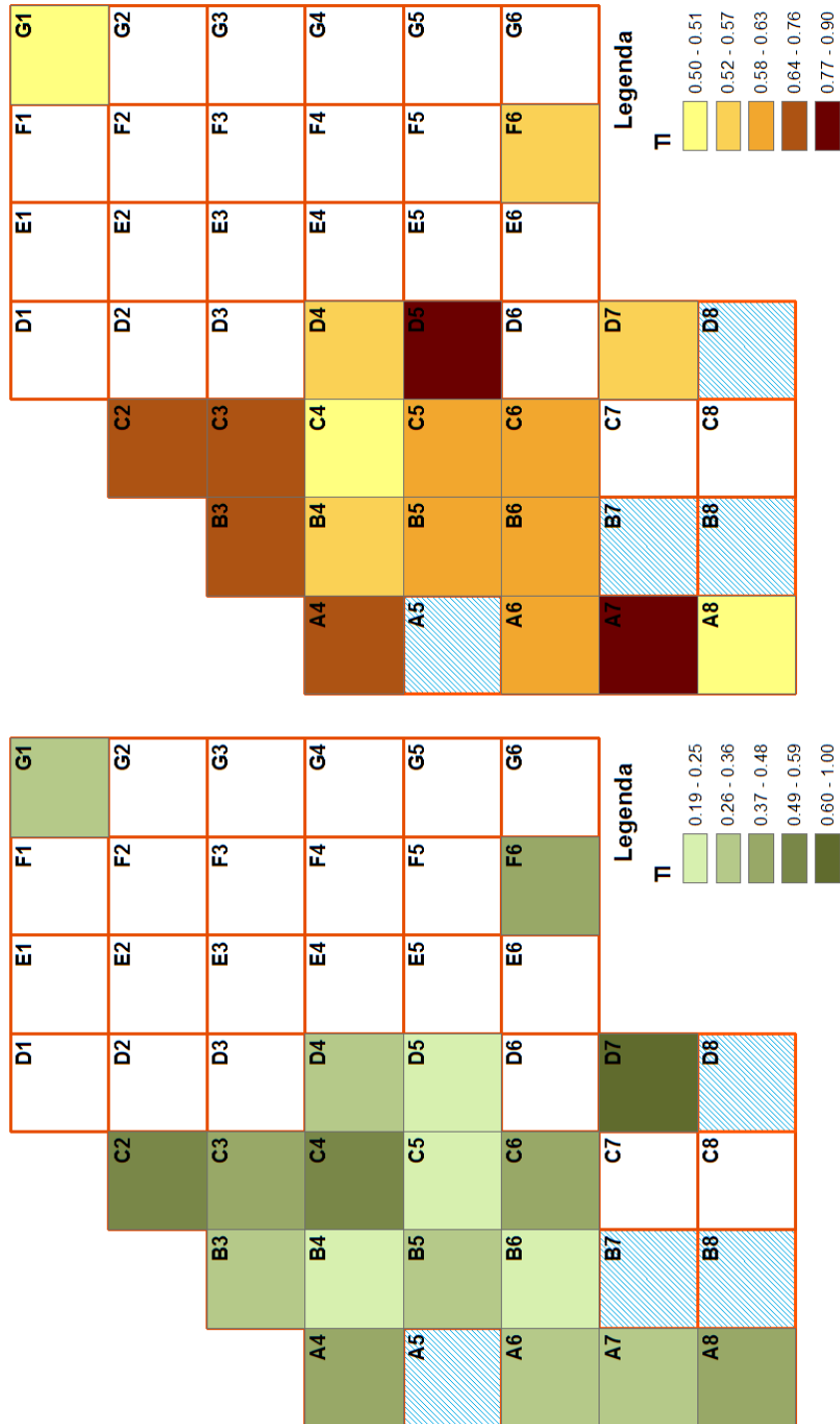


Figura 14c - Valori medi del Tallio (TI) standardizzati rispetto al massimo relativo riscontrato nell'area di studio nel lichene *Xanthoria parietina* (Figura a) e gli stessi corretti in base al fattore di arricchimento per l'Alluminio per le tre principali tipologie di suolo (vedi Tab. 12) (Figura b). Per questo elemento non è disponibile la scala di naturalità/alterazione. Ulteriori spiegazioni nel testo.

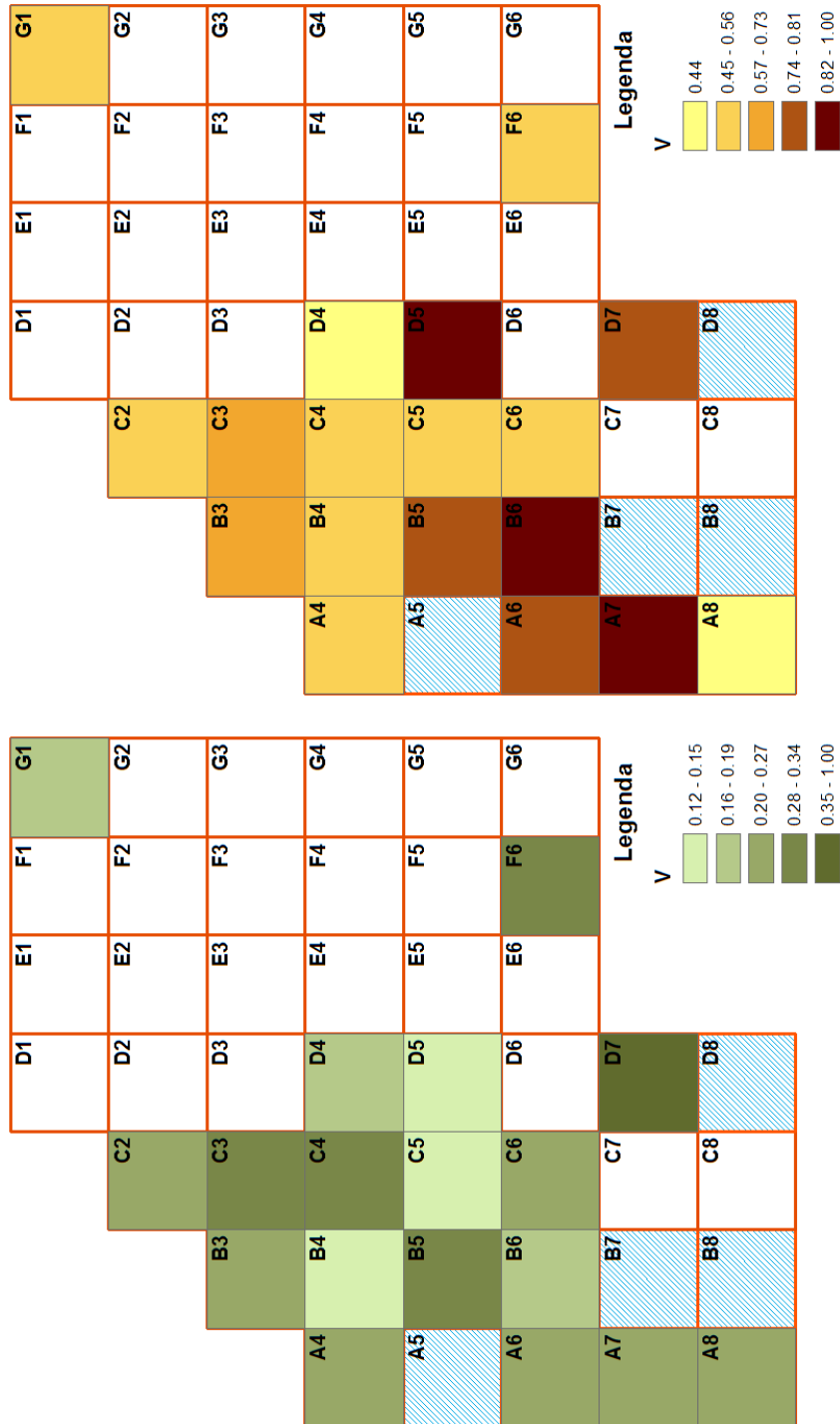


Figura 15c - Valori medi del Vanadio (V) standardizzati rispetto al massimo relativo riscontrato nell'area di studio nel lichene *Xanthoria parietina* (Figura a) e gli stessi corretti in base al fattore di arricchimento per l'Alluminio per le tre principali tipologie di suolo (vedi Tab. 12) (Figura b). Per questo elemento non è disponibile la scala di naturalità/alterazione. Ulteriori spiegazioni nel testo.

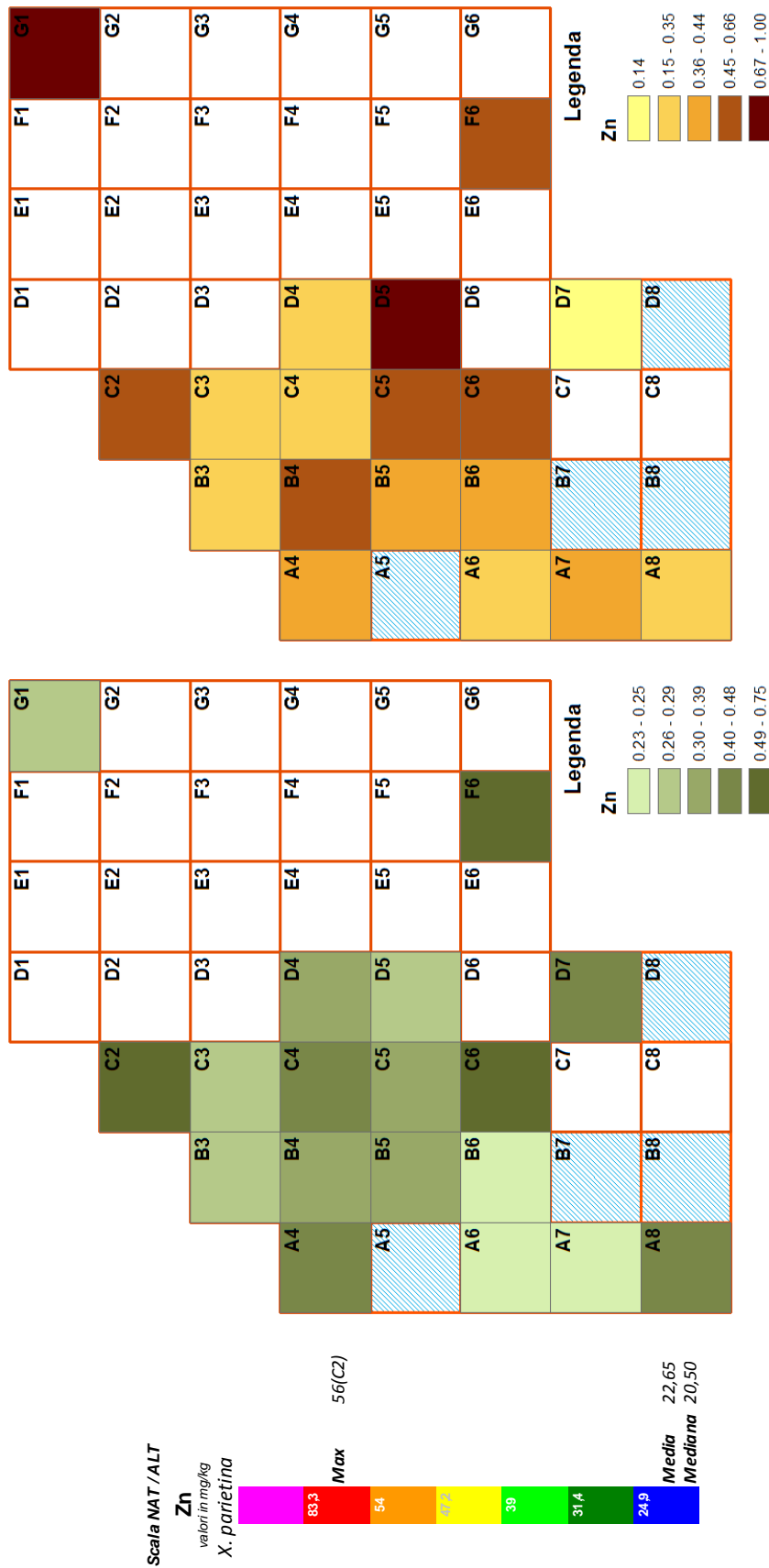


Figura 16c- Valori medi dello Zinco standardizzati rispetto al massimo relativo riscontrato nell'area di studio nel lichene *Xanthoria parietina* (Figura a) e gli stessi corretti in base al fattore di arricchimento per l'Alluminio per le tre principali tipologie di suolo (vedi Tab. 12) (Figura b). Nell'inserito a sinistra si riporta la scala di naturalità/alterazione di questa specie (v. Tretiach & Baruffo 2001) con i valori massimi, medi e di mediana della sottopopolazione di dati. Ulteriori spiegazioni nel testo.

Confronto della capacità di accumulo di due specie di licheni epifiti per la verifica di eventuali scostamenti dai valori di naturalità riconducibili all'attività della centrale termoelettrica a2a di Monfalcone
-RELAZIONE TECNICA – APPENDICE 4 Figure relative a *Xanthoria parietina*